

В. С. МИЛЕЕВ, | Л. Е. ВИШНЕВСКИЙ, | А. М. НИКИШИН, С. Б. РОЗАНОВ

ФОРМАЦИИ АККРЕЦИОННОЙ ПРИЗМЫ ГОРНОГО КРЫМА

Ранне (?)-среднетриасовый — позднеюрский горнокрымский комплекс, отвечающий развитию подвижного киммерийского этапа Горного Крыма, включает таврическую, эскиординскую, карадакскую и яйлинскую серии. Позднетриас-раннебайосская флишевая таврическая серия формировалась в основании континентального склона, а ранне (?)-среднетриас-батская эскиординская серия, включающая обломочные и глинистые формации, образовалась в мелководной шельфовой обстановке. В позднем байосе возникла островная вулканическая дуга с щелочно-известковистыми вулканитами. В поздней юре сформировалась конгломератово-рифогенно-известняковая яйлинская серия. Горнокрымский комплекс имеет складчато-чешуйчатое строение и образует аккреционную призму, сформировавшуюся в два этапа: ранне-среднеюрский и послепозднеюрский (предпозднебайосский).

В триасово-юрских отложениях Горного Крыма с конца XIX в. исследователи выделяли два комплекса — формацию таврических сланцев верхнего триаса — нижней юры и верхнеюрскую конгломератово-известняковую формацию Яйлы. В 1929 г. А. С. Моисеев вычленил из тубокводной таврической серии эскиординскую свиту нижней юры прибрежного происхождения. Однако первая стратиграфическая схема флишевых отложений разработана в конце 40-х гг. М. В. Муратовым и А. С. Шалимовым, последний вариант схемы опубликован в 1969—1973 гг. [4, 7]. Н. В. Короновский и В. С. Милеев [6] пришли к выводу: таврическая серия и эскиординская свита имеют приблизительно равный стратиграфический диапазон и, следовательно, последняя является фактически отличным временным аналогом всей таврической серии, что позволяет указанную свиту перевести в ранг серии. В. Н. Шварц [14] существенно детализировал строение таврической серии в бассейне р. Бодрак, а В. И. Славин [9] — в бассейне р. Б. Салгир. В. Г. Чернов [11] уточнил строение эскиординской свиты в месте описания ее стратотипа (окрестности с. Петропавловки), а Д. И. Панов с соавторами [8] из таврической серии выделил ченкскую свиту гравекового состава.

В 1981 г. Ю. В. Тесленко и другие предложили региональную стратиграфическую схему таврической серии, в которой выделили верхнетриасовую (крымскую) и нижнеюрскую (эскиординскую) свиты. Однако указанная схема является некоторой модификацией схемы, предложенной М. В. Муратовым и А. С. Шалимовым.

Перечислим особенности таврических и эскиординских отложений: 1) наличие одинаковых по составу пачек на разных стратиграфических уровнях в соседних разрезах; 2) близость возрастов однофациальных отложений в соседних разрезах, укладывающихся в диапазон поздний триас — ранняя юра; 3) отсутствие переходных слоев между пачками достаточно контрастного состава (например, флишевых и высокозрелых существенно кварцевых отложений); 4) противостоятельно малые мощности пачек некоторых типов отложений (например, 10—20 м флиша); 5) наличие в комплексе двух уровней вулканитов, одинаковых (основных) по составу, но различных по возрасту (поздний триас и поздний байос).

К указанным особенностям добавим данные, установленные в результате исследований последних лет и противоречащие рассмотренным схемам: 1) находки фауны, которая, с одной стороны, не соответствует принятым датировкам, а с другой — подтверждает среднетриасовый нижний возрастной предел эскиординской серии и повышает до

раннего байоса верхний возрастной предел обеих серий [2]; 2) обнаружение в хаотических горизонтах глыб известняков с раннемеловой фауной [2, 5]; 3) полная идентичность составов вулканитов из района г. Карадаг, с. Петропавловки и р. Бодрак, относящихся к известково-щелочной формации, что свидетельствует об их одинаковом — позднем байосском возрасте [3]; 4) установление во многих случаях структурных несоответствий между таврической и эскиординской сериями между их частями внутри серий (что говорит об их тектонических соотношениях), а также между верхнеюрскими и подстилающими отложениями.

В 1929 г. А. С. Моисеев отмечал широкое развитие надвигов в таврической формации. Н. В. Короновский и В. С. Милеев [6] показали, что Лозовская зона является зоной смятия, в которой широко развиты процессы рассланцевания и дезинтеграции комплексов, а современные соотношения таврической и эскиординской серий свидетельствуют об их тектоническом сближении по покрову.

Изложенное позволяет изменить традиционную точку зрения на строение нижнего комплекса и распространить установленное в пределах Качинского поднятия складчато-чешуйчатое строение на весь Горный Крым. Принимается, что стратиграфические разрезы подвергались расчешуйванию и дезинтеграции, особенно интенсивно в Лозовской зоне смятия. Такой подход позволяет в таврической и эскиординской сериях выявить несколько типов одновозрастных разнофациальных типоразрезов.

В целом в Горном Крыму целесообразно выделить горнокрымский комплекс, общим объемом ранний триас(?) — поздняя юра (рис. 1), состоящий из четырех разногенетических серий [2].

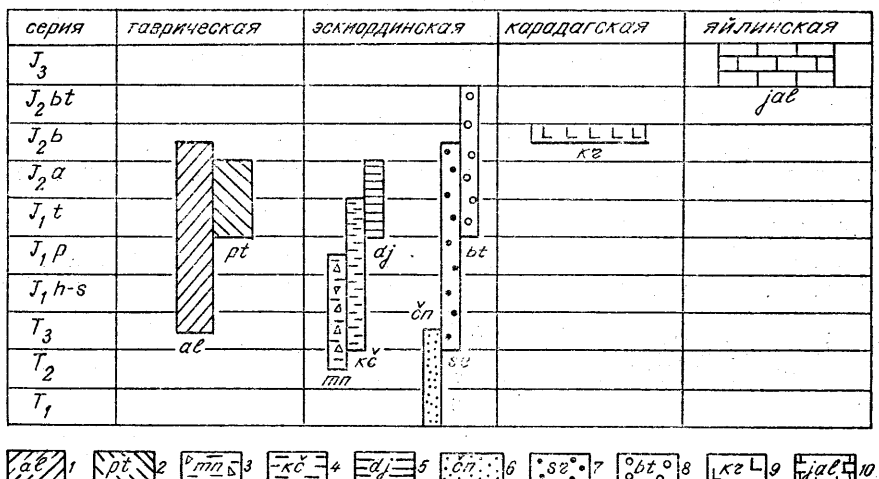


Рис. 1. Стратиграфические объемы серий горнокрымского комплекса по [2]
1—2 — толщи флишевой формации: 1 — алыминская, 2 — патильская; 3—5 — толщи глинистых формаций: 3 — мендерская, 4 — кичикская, 5 — джидайская; 6—8 — толщи терригенных формаций: 6 — ченкская, 7 — сараманская, 8 — битакская, 9—10 — серии: 9 — карадагская, 10 — яйлинская

1. Таврическая серия — флишевые образования континентального склона и батиальной равнины.

2. Эскиординская серия — шельфовые обломочно-глинистые отложения.

3. Карадагская серия — основные известково-шелочные вулканиты островодужного типа.

4. Яйлинская серия — конгломератово-известняковые отложения мелководного эпиаккреционного бассейна.

Таврическая серия обладает четко выраженным формационным характером — это двукомпонентный терригенный флиш, в котором можно выделить ряд фаций. Наиболее распространены турбидиты с разными соотношениями первого, алевропесчаникового, и второго, аргиллитового, элементов ритма. Наиболее широко развита субфация с преобладанием алевропесчаникового элемента. Она наблюдается в долинах р. Петропавловского в бассейне р. Салгир, в долинах рек Альма, Марта, Бельбек и ограниченно — р. Бодрак. Субфация представлена сероцветными преимущественно косослоистыми средне-мелкозернистыми олигомиктовыми песчаниками, переходящими в алевролиты, с карбонатом в цементе, мощностью 5—30 см. Характерно наличие унифицированного растительного дегрита, придающего породе темную окраску. Второй элемент ритма подавлен и составляет 1—5 см.

Вторая субфация сложена аргиллитовыми турбидитами. Породы красновато-коричневые с фиолетовым оттенком. Алевропесчаники разнозернистые от средне- до мелкозернистых при преобладании последних, состав существенно кварцевый. Очень редко встречаются конгломераты и гравелиты [1]. Косая слоистость часто комбинируется с конволютной. Темно-серые, до черных, аргиллиты второго элемента ритма преобладают над алевропесчаниками. Растительный дегрит нехарактерен, но встречаются углефицированные обломки стволов и веток растений. Отсутствует в них карбонат. Мощность первого элемента колеблется от 8 до 70 см, а второго от 5 до 70 см. Часты конкреции и конкреционные прослои глинистых сидеритов.

Первая субфация («альминский» флиш) несет признаки более проксимальных условий формирования, вероятно, в верхней части континентального склона выше критического уровня карбонатонакопления. Вторая («патильский» флиш) — обладает чертами большей дистальности и формировалаась ниже этого уровня.

Две другие фации установлены лишь в отдельных местах, где они ассоциируют с «патильским» флишем. Одна из них — паститы — аргиллиты с редкими рассеянными гальками инородных пород и окатышами своих же аргиллитов, обладающих скорлуповатой отдельностью [1]. Эти образования являются результатом отложения катастрофических пастообразных потоков (подводных селей) высокой плотности, образовавшихся, вероятно, при понижении уровня моря. Вторая фация представлена маломощными (до 5—10 см) прослойями алевролитов или мелкозернистых песчаников с параллельной, реже косой слоистостью. Вероятно, это продукты продольных по отношению к континентальному склону глубоководных течений, которые временами устанавливались между турбидитными пароксизмами.

Исследования пространственной ориентировки механоглифов и вертности в конволютной и косой слоистостях указывают на преобладание южного источника сноса — гипотетический террейн Эвксиния, наравне с которым установлены северные и субширотные, продольные по отношению к бассейну, ориентировки.

Более пестрый состав имеет эскиординская серия, в которой можно выделить толщи преимущественно глинистые или достаточно грубообломочные. Распространена серия главным образом в Лозовской зоне смятия и в прилегающих к ней участках Горнокрымской структурно-фацальной зоны. Все толщи серии находятся в тектонических соотношениях между собой и с породами таврической серии.

Вероятно, в основании всего киммерийского бассейна лежит груборитническая неравномернозернистая граувакковая ченская толща,

в которой песчанистые прослои имеют мощность 2—8 м, а аргиллитовые всего 5—10 см. По углефицированным тканям растительных остатков можно предполагать ее ранне-среднетриасовый возраст (заключение И. А. Добрускиной).

Сараманская толща представлена высокозрелыми, существенно кварцевыми крупнозернистыми песчаниками («жерловыми песчаниками»), гравелитами и конгломератами с возрастным диапазоном от нория до раннего байоса. Эта формация образовалась в условиях береговых пляжей и в пределах каньонных проксимальных частей фенов Кней по составу и возрасту близка бешуйская угленосная прибрежная фация.

Ряд обломочных фаций замыкает битакская толща верхнего тарра—бата. Грубообломочная, конгломератовая в нижней части, толща выше становится песчанистой и венчается глинисто-алевролитовой пачкой [10]. Это типичная нижняя сероцветная морская моласса, для которой по косой слоистости устанавливается южный источник сноса.

Такой же возрастной диапазон имеют толщи глинистого состава. Из них наиболее близка к таврической серии кичикская — ритмичные глинистые отложения (5—10 м), чередующиеся с субграуваковыми мелкозернистыми песчаниками (30—50 см) турбидитного типа. С кичикской толщей ассоциируют линзовидные тела низкощелочных риолитов и дацитов (до андезит-дацитов), вероятно, отвечающих эпохе рифогенеза.

Наиболее широко распространена джидайская толща коричневато-зеленоватых глин (2—3 м) с прослойми средне-мелкозернистых неяснослоистых песчаников, содержащих многочисленный углефицированный растительный детрит (0,5—0,7 м). Наличие окатышей красноземов и корешков мелких водорослей свидетельствует о прибрежно-лагунных условиях ее образования.

Особое место занимает обломочно-глинистая мендерская толща позднетриас-плинсбахского возраста, включающая главным образом известняковые глыбы, датированные широким временным диапазоном — от позднего триаса до апта. Генезис толщи спорен. Одни геологи склонны видеть в ней олистостром; другие, основываясь на рассланцовности пород матрикса, рассматривают ее как автокластический меланж, включающий отторженцы пород фундамента, — глыбы каменноугольного и пермского возраста. Не исключено, что она представляет собой меланжированный олистостром.

Мелководный прибрежный характер этих образований позволяет говорить о шельфовой природе образований серии. Ее возрастной диапазон — ранний (?)—средний триас—бат, т. е. шире, чем у глубоководной таврической серии.

Почти с момента возникновения континентальной окраины и дифференциации профиля морского бассейна начинается его закрытие, обусловленное движением террейна Эвксиния в северном направлении и его сближением с континентальным блоком Восточно-Европейской платформы. На северном борту формируется аккреционная призма, с которой связано начало первого этапа покровообразования.

Вулканическая карадагская серия в разрезе Горного Крыма имеет базальтовый—андезит-базальтовый состав и относится к известково-щелочной островодужной формации. Узский (позднебайосский) возраст серии свидетельствует о кратковременности этого магматического эпизода на стадии завершения формирования аккреционного комплекса при субдукции коры бассейна под континентальный блок платформы в Лозовской зоне. Не исключено, что южнее существовала вторая зона субдукции, развивавшаяся внутри бассейна и отвечающая современному положению района Яйлы. Ко второй зоне субдукции тяготеют основные вулканиты и интрузивы кастельского комплекса. С этим

ременем связанные закрытие киммерийского глубоководного бассейна и
образование задугового мелководного морского водоема, в котором за-
ржалось накопление битакской толщи. Режим эпиконтинентального
мелководного моря сохранялся в поздней юре, когда формировалась
яйлинская серия псефитов и рифогенных известняков. Крутые залега-
ния слоев в этих породах обусловлены, как показали аэрофотосъемки
берегов последних лет, изоклинальными складками слабой южной вергентности.
Поскольку складки срезаны слабонаклоненной нижней границей верх-
ней юрской толщи, природа границы может быть только тектонической,
что однозначно свидетельствует об алохтонном залегании отложений,
загающих Яилу, на подстилающих породах. О том же говорят карбо-
нитные тектониты в основании яйлинских обрывов в районе пос. Ласпи.

Последний в юго-западной части Горного Крыма этап шарырования
(допозднеберриасский) привел к возникновению пологих покровов,
площади которых слагают верхние части склонов и отдельные вершины.

Второй гряды и Яилу Крымских гор.

История развития киммерийского бассейна представляется следующей (рис. 2). В начале (?) — середине триаса палеозойская карбонитная платформа подверглась долготному растяжению, что привело к понижению коры и заложению мелководного, последовательно углублявшегося эпиконтинентального бассейна, в котором накапливались ченкская, а позднее кичикская толщи.

В середине—конце триаса проявился незавершенный рассеянный рифтогенез, приведший к возникновению рифогенных прогибов, но не дошедшему до полного разрыва коры. После углубления бассейна и дифференциации его профиля с обособлением шельфа, континентального склона и глубоководной впадины на шельфе начала формироваться основная часть эскиординской свиты, а у основания континентального склона — таврическая серия. Однако, вероятно, уже с юры началось закрытие бассейна за счет сближения Эвксиния, находившегося на юге, и Восточно-Европейской платформой. К этому времени относится начало формирования аккреционного комплекса с относительно крутыми ($30-45^\circ$) надвигами и рассланцеванием отложений. Пододвигание Эвксиния в процессе субдукции в позднем байосе привело к возникновению островной вулканической дуги или дуг (карадагская серия) и задуго-бассейна (верхняя часть битакской толщи).

Глубоководный киммерийский бассейн полностью закрылся и на месте возникла сутура — Лозовская зона смятия с шарырованием складков прогиба в южном направлении.

В северной части Горного Крыма в поздней юре установился режим эпиконтинентального мелкого моря (яйлинская серия). В конце поздней юры — начале мела последняя эпоха сжатия привела к ликвидации этого бассейна со срывом верхнеюрских и подстилающих отложений, смещением к югу и перемещением к югу в современное положение.

Гипотетический террейн Эвксиния, явившийся южным источником сноса в киммерийском бассейне на протяжении всего его существования, вероятно, в дальнейшем, при формировании Черноморской впадины, подвергся океанизации. Возможно, Грузинская глыба и Мизийская плита являются его сохранившимися фрагментами.

Близкое развитие в юре, по данным П. В. Чумаченко [12, 13], выявлено в зоне Восточной Стара-Планины (Болгария), южнее Мизийской плиты. Здесь установлены глубоководные турбидиты, олистостром и шельфовые отложения. Однако этот бассейн существовал несколько позже (плинсбах—бат). Изложенное свидетельствует о типичности эволюции крымского киммерийского этапа развития для данной части океана Тетис.

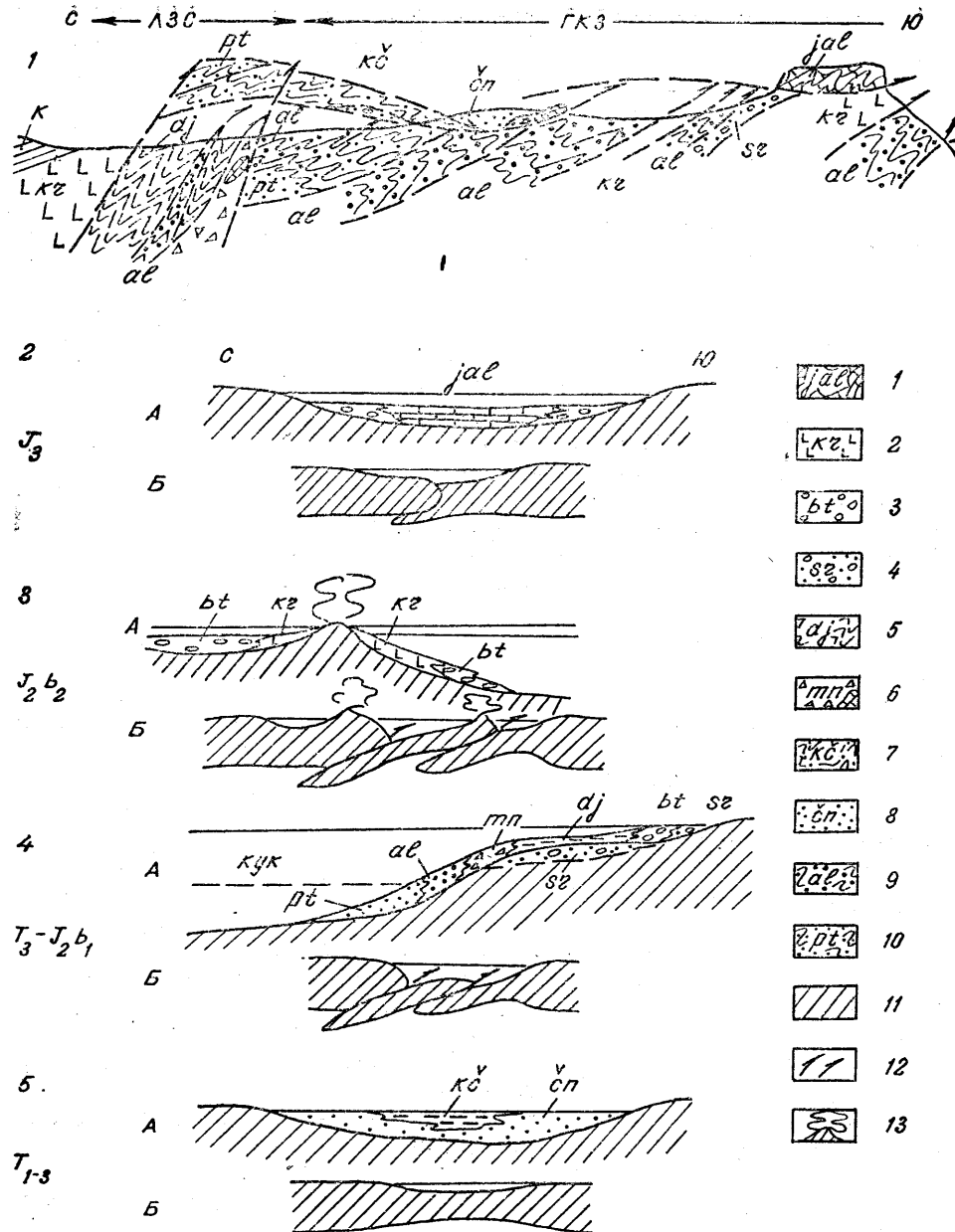


Рис. 2. Принципиальный геологический разрез (1) и схема эволюции (2–5) киммерийского бассейна Горного Крыма (А) с геодинамическими обстановками (Б), по [2] КУК — критический уровень карбонатонакопления; 1–10 — горнокрымский комплекс: 1–2 — серия: 1 — ялинская, 2 — карадагская; 3–8 — эскиорданская серия, включающая толщи: 3 — битакскую, 4 — сараманскую, 5 — джидайскую, 6 — мендарскую, 7 — кичикскую, 8 — ченкскую; 9–10 — таврическая серия, включающая толщи: 9 — альминскую, 10 — патильскую; 11 — континентальная кора; 12 — зоны аккреции; 13 — зоны островодужного вулканизма

ЛИТЕРАТУРА

1. Барабошкин Е. Ю., Дегтярев Е. Е. Псефиты таврической серии (район среднего течения р. Бодрак) // Вест. МГУ. Сер. геол. 1988. № 4.
2. Геологическое строение Качинского поднятия Горного Крыма // Стратиграфия мезозоя / Под ред. О. А. Мазаровича и В. С. Милеева. М., 1989.

- Геологическое строение Качинского поднятия Горного Крыма // Стратиграфия кайнозоя, магматические, метаморфические и метасоматические образования / Под ред. О. А. Мазаровича и В. С. Милеева). М., 1989.
- Геология СССР: Крым. М., 1969. Т. 8.
- Дехтерева Л. В. и др. О природе горизонта глыбовых известняков в окрестностях г. Симферополя // Изв. АН СССР. Сер. геол. 1978. № 3.
- Короновский Н. В., Милеев В. С. О соотношении отложений таврической серии и эскиординской свиты в долине р. Бодрак (Горный Крым) // Вест. МГУ. Сер. геол. 1974. № 1.
- Муратов М. В. Геология Крымского полуострова // Руководство по учебной геологической практике в Крыму. М., 1973, т. 2.
- Панов Д. И. и др. Новые данные по геологии триасовых и нижнеюрских отложений в междуречье Марты и Бодрака (юго-западная часть Горного Крыма) // Вест. МГУ. Сер. геол. 1978. № 1.
- Славин В. И. Основные черты геологического строения зоны сопряжения поздних и ранних киммерид в бассейне р. Салгир в Крыму // Вест. МГУ. Сер. геол. 1982. № 5.
- Славин В. И., Чернов В. Г. Геологическое строение битакской свиты (тоар—средняя юра) в Крыму // Изв. вузов. Геол. и разв. 1981. № 7.
- Чернов В. Г. Новые данные о возрасте, строении и происхождении эскиординской свиты в Крыму // Вест. МГУ. Сер. геол. 1981. № 6.
- Чумаченко П. В., Чернявская С. П. Юрская система в Восточной Старой Планина. 1. Стратиграфия // Geol. Balc. 1989. Т. 19. № 4.
- Чумаченко П. В., Чернявская С. П. Юрская система в Восточной Старой Планина. 2. Палеогеографическая и палеотектоническая эволюция // Geol. Balc. 1990. Т. 20. № 3.
- Шванов В. Н. Литостратиграфия и структура таврической свиты в бассейне р. Бодрак в Крыму // Вест. ЛГУ. Сер. геол. 1966. № 6. Вып. 1.

Московский государственный
университет имени М. В. Ломоносова

ДК 551.263 : /551.248 : 551.735 (470.56/574.13) /

Е. Л. МЕЛАМУД, И. А. ЩЕКОТОВА

ФОРМАЦИОННЫЕ И ПАЛЕОТЕКТОНИЧЕСКИЕ ОСОБЕННОСТИ ОКСКО-БАШКИРСКИХ ОТЛОЖЕНИЙ В ОРЕНБУРГСКО-АКТЮБИНСКОМ ПРИУРАЛЬЕ

На основе формационного анализа окско-башкирских карбонатных отложений Оренбургско-Актюбинского Приуралья и Соль-Илецкого поднятия установлено развитие окско-раннебашкирской банково-рифовой формации, фиксирующей палеоподнятие — субмеридиональное (вдоль внешнего края Уральской геосинклиналии) и субширотное (вдоль северного борта Прикаспийской впадины). Показано, что в окско-башкирское время произошло расширение северо-восточной части Прикаспия. Образовавшуюся заливообразную территорию ограничивали с запада, севера и востока палеоподнятия, смыкавшиеся в пределах современной Бельской впадины. Позднее, вплоть до кунгурского времени, залив постепенно продвигался к северу. Коренная перестройка окско-московского плана произошла в регионе в самом конце позднего карбона.

В связи с открытиями месторождений нефти и газа в карбонатных каменноугольных отложениях в прибрежных зонах Прикаспийской впадины становится актуальной расшифровка геологического строения формационной характеристики отложений, подстилающих нижне-вермскую молассу в Оренбургско-Актюбинском Приуралье. В последние годы появились данные бурения и сейсморазведки, которые позволяют подойти к решению этой проблемы. Для построений мы использовали

ГЛ

МИНИСТЕРСТВО НАУКИ, ВЫСШЕЙ ШКОЛЫ
И ТЕХНИЧЕСКОЙ ПОЛИТИКИ РОССИЙСКОЙ ФЕДЕРАЦИИ
КОМИТЕТ ПО ВЫСШЕЙ ШКОЛЕ

НАУЧНАЯ БИБЛИОТЕКА
им. Горького
МГУ

ИЗВЕСТИЯ

ВЫСШИХ УЧЕБНЫХ ЗАВЕДЕНИЙ

ГЕОЛОГИЯ И РАЗВЕДКА

НАУЧНО-МЕТОДИЧЕСКИЙ ЖУРНАЛ

№ 4

ИЮЛЬ—АВГУСТ

ИЗДАЕТСЯ С ЯНВАРЯ 1958 г.

Выходит 6 раз в год

мых
желс
атом
ческ
новь
обхо
обус
ний.

МОСКОВСКИЙ ОРДЕНА ТРУДОВОГО КРАСНОГО ЗНАМЕНИ
ОГОРАЗВЕДОЧНЫЙ ИНСТИТУТ ИМЕНИ СЕРГО ОРДЖОНИКИДЗЕ

МОСКВА — 1992